

УДК 532.546:534.1

## **Взаимодействие акустических волн с пористым слоем\***

**А.А. Губайдуллин, О.Ю. Болдырева, Д.Н. Дудко**

*Тюменский филиал Института теоретической и прикладной механики им. С.А. Христиановича СО РАН*

E-mail: timms@ikz.ru

Исследуется взаимодействие звукового импульса с пористым слоем. При этом возможно наличие преграды, экранируемой слоем, а также зазора между пористым слоем и преградой. Предложена методика расчета в линейном приближении давлений и напряжений в пористом слое, в зазоре и на преграде. Методика позволяет интерпретировать данные по взаимодействию акустических волн с пористым слоем, полученные в эксперименте или с помощью конечно-разностных методов. Исследованы особенности прохождения акустической волны в пористый слой и последующего отражения от преграды. Проведено сравнение расчетных данных с данными эксперимента других авторов по прохождению импульса через погруженную в воду пористую пластину.

**Ключевые слова:** пористый слой, зазор, преграда, акустическая волна, прохождение, отражение.

### **ВВЕДЕНИЕ**

Пористые материалы широко используются в современном строительстве и промышленности, в частности, для поглощения вредных шумов, а также рассматриваются как демпфирующие среды для ослабления воздействий взрывов на сооружения. Распространение и взаимодействие волн в пористых средах изучаются также в связи с задачами сейсмоакустики, сейсморазведки, воздействия на нефтяные пласты. Знание закономерностей прохождения и отражения импульсов давления от пористых пластин, погруженных в жидкость или газ, также необходимо для определения свойств и контроля качества пористых материалов. Для всех этих приложений очень важно исследовать взаимодействия импульсов давления с пористой средой и характер движения флюида в порах в широком диапазоне материалов с различными свойствами.

Теория распространения волн в дискретно-непрерывных и непрерывно-слоистых средах изложена в монографии [1]. В частности, рассмотрено отражение звуковых волн от упругого слоя и от системы упругих слоев. Связь собственных колебаний пористой упругой пластины с коэффициентами отражения и прохождения на границах изучалась в работе [2]. Также рассматривались особенности взаимодейст-

---

\* Работа выполнена при финансовой поддержке Президента РФ (НШ-3483.2008.1).

вия звуковых волн с плоским слоем [3] и акустическим экраном [4]. В работах [5, 6] исследовалось распространение ультразвуковых и звуковых волн вдоль границы упругой среды и жидкости.

В работе [7] с помощью метода матричного пропагатора исследовано распространение сейсмических волн из упругого основания в неоднородный осадочный слой, расположенный на морском дне. Получено аналитическое выражение для матричного пропагатора.

Прохождение волн из жидкости в вязкоупругую пористую среду при наклонном падении рассматривалось в работах [8, 9]. В теоретическом исследовании [8] показано, что прошедшие в вязкоупругую пористую среду волны являются неоднородными. В статье [9] описывается эксперимент по прохождению и отражению волн от погруженной в жидкость пористой пластины при наклонном падении. Расхождение между расчетными теоретическими и полученными при обработке экспериментальных данных коэффициентами отражения и прохождения устраняется с помощью введения малой мнимой добавки к объемному модулю упругости пористой среды.

Прохождение линейных волн из флюида в пористое полупространство с неподвижным скелетом рассматривалось в работе [10]. Закономерности отражения волн давления от твердых поверхностей, покрытых пористым слоем, изучались в работах [11-18].

Метод определения акустических характеристик газонасыщенной пористой среды по результатам отражения ультразвуковых волн от границ пористого слоя с жестким скелетом при наклонном падении предложен в работах [19, 20]. Метод позволяет определить коэффициент извилистости пор, характерные вязкую и температурную длины пористой среды.

В исследовании [21] описывается эксперимент по прохождению волн через погруженную в воду пористую пластину при нормальном падении. Сравниваются рассчитанный в рамках модели Био и полученный в результате обработки экспериментальных данных коэффициенты прохождения волны через пористый слой при нормальном падении. Показана возможность определения некоторых параметров пористой среды (зависимостей от частоты скоростей и пространственных декрементов затухания быстрой и медленной волн, коэффициентов отражения от границ) путем решения некоторой задачи оптимизации.

При расчете распространения акустических волн в пористых средах, прохождения волн через пористый слой обычно используется несколько основных методов. Для изучения закономерностей прохождения и отражения гармонических волн на границе флюида с пористой средой при нормальном или наклонном падении получают коэффициенты отражения и прохождения на границах флюида и пористой среды. В отдельных случаях (в предположении о неподвижности скелета, при пренебрежении инерционной составляющей межфазной силы, для начального импульса определенного вида) удается получить аналитическое решение задачи о распространении импульса в пористой среде или о прохождении импульса из флюида в пористую среду. Для описания распространения импульсов давления в пористой среде, прохождения волн давления из флюида в пористое полупространство применяются интегральные или дискретные преобразования Лапласа и Фурье [22, 10]. Для расчета прохождения акустического импульса в пористый слой также используют конечно-разностные методы [23, 18, 24], в частности, модифицированный метод крупных частиц [25]. Определенный интерес представляет коэффициент прохождения через пористый слой гармонической волны. Этот коэффициент может быть рассчитан с помощью коэффициентов прохождения

и отражения на границах пористой среды и флюида волн, возникших в результате прохождения в слой начальной волны, с учетом конечного числа отражений на границах [21].

В настоящей работе предложена методика численного исследования в линейном приближении процесса взаимодействия акустического импульса с пористым слоем, продемонстрированы его возможности. При этом используется дискретное преобразование Фурье. Проведено исследование особенностей прохождения волны сжатия в пористый слой и последующего отражения от преграды, экранируемой слоем и зазором. Предложенная методика позволяет интерпретировать как экспериментальные данные [21], так и полученные с помощью конечно-разностных методов результаты расчетов взаимодействия акустических волн с пористым слоем [24].

### ПОСТАНОВКА ЗАДАЧИ. УРАВНЕНИЯ ДВИЖЕНИЯ

В общем случае имеется пористый слой (ПС) ( $x_1 < x < x_2$ ), зазор ( $x_2 < x < x_w$ ) и преграда — жесткая стенка ( $x = x_w$ ), рис. 1. Область перед слоем  $x < x_1$  и зазор заполнены флюидом — газом или жидкостью, пористая среда насыщена тем же флюидом. Перед слоем во флюиде при  $x = x_0$  задается импульс давления  $p_{in}(t)$ . На границах пористого слоя  $x = x_1, x_2$  поры могут быть открытыми или закрытыми. Цель исследования — изучение особенностей прохождения акустической волны в пористый слой и последующего отражения от преграды.

Линеаризованные уравнения одномерного движения пористой среды в рамках двухскоростной с двумя напряжениями модели имеют вид [26, 27]:

$$\frac{\partial \rho_s}{\partial t} + \rho_{s0} \frac{\partial v_s}{\partial x} = 0, \quad \frac{\partial \rho_f}{\partial t} + \rho_{f0} \frac{\partial v_f}{\partial x} = 0,$$

$$\rho_{s0} \frac{\partial v_s}{\partial t} = -\alpha_{s0} \frac{\partial p_f}{\partial x} + \frac{\partial \sigma_{s*}}{\partial x} + F,$$

$$\rho_{f0} \frac{\partial v_f}{\partial t} = -\alpha_{f0} \frac{\partial p_f}{\partial x} - F,$$

$$\sigma_{s*} = \alpha_{s0} \left[ (\lambda_* + 2\mu_*) \varepsilon_s + v_* p_f' \right], \quad v_* = \frac{\lambda_* + 2\mu_* / 3}{K_s},$$

$$\frac{\partial \varepsilon_s}{\partial t} = \frac{\partial v_s}{\partial x},$$

$$\rho_f' = \alpha_f' \rho_{f0}^\circ + \alpha_{f0} \rho_f', \quad \rho_s' = \alpha_s' \rho_{s0}^\circ + \alpha_{s0} \rho_s',$$

$$\alpha_f' + \alpha_s' = 0,$$

$$p_s' = K_s \rho_s' / \rho_{s0}^\circ, \quad p_f' = K_f \rho_f' / \rho_{f0}^\circ,$$

$$p_{s*}' = \alpha_{s0} (p_s' - p_f') + \alpha_s' (p_{s0} - p_{f0}),$$

$$p_{s*}' = -\alpha_{s0} \left[ (\lambda_* + 2\mu_* / 3) \varepsilon_s + v_* p_f' \right].$$

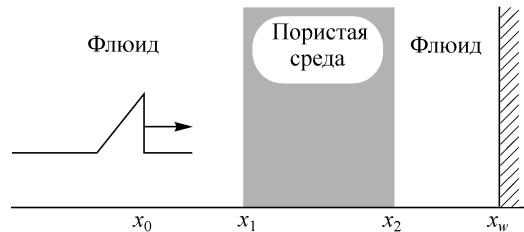


Рис. 1. Схема задачи.

Здесь нижние индексы  $j = s, f$  относятся к параметрам твердой или жидкой фаз соответственно, нижний индекс 0 означает невозмущенное значение величины, а штрих — отклонение от невозмущенного значения ( $w' = w - w_0$ ),  $\alpha_j, \rho_j, \rho_j^\circ, v_j$  — соответственно объемное содержание, приведенная и истинная плотности и скорость  $j$ -фазы,  $p_f$  — давление в жидкости,  $\sigma_{s*}$  — приведенное напряжение в скелете среды,  $F$  — сила межфазного взаимодействия.

Скелет пористой среды предполагается упругим с модулями упругости  $\alpha_s \lambda_s, \alpha_s \mu_s, \varepsilon_s$  — деформации твердой фазы,  $p_s$  — давление внутри твердой фазы,  $K_s, K_f$  — соответственно объемные модули упругости для материала твердой фазы и для жидкости. Заметим, что учет другого поведения скелета, например, вязкоупругого [22], не вызывает принципиальных трудностей.

Выражение для межфазной силы  $F$  в случае распространения монохроматической волны частоты  $\omega$  принято в виде [27, 28]:

$$F = F_\mu + F_m + F_B,$$

$$F_m = 0.5 \eta_m \alpha_{f0} \alpha_{s0} \rho_{f0}^\circ i \omega (v_f - v_s),$$

$$F_\mu = \eta_\mu a_*^{-2} \alpha_{f0} \alpha_{s0} \mu_f (v_f - v_s),$$

$$F_B = \eta_B a_*^{-1} \alpha_{f0} \alpha_{s0} \sqrt{2 \rho_{f0}^\circ \mu_f \omega} (1 + i) (v_f - v_s).$$

Здесь  $F_m$  — сила присоединенных масс, вызванная инерционным взаимодействием фаз,  $F_\mu$  — сила вязкого трения Стокса,  $F_B$  — аналог силы Бассэ, возникающей из-за нестационарности вязкого пограничного слоя около границы жидкости с твердой фазой,  $i$  — мнимая единица,  $\mu_f$  — динамическая вязкость жидкости,  $a_*$  — характерный размер пор или зерен,  $\eta_m, \eta_\mu, \eta_B$  — коэффициенты инерционного, вязкого и вязко-инерционного взаимодействия фаз, зависящие от структуры среды. Проницаемость пористой среды связана с характерным размером неоднородности соотношением  $k_* = \frac{\alpha_{f0} a_*^2}{\alpha_{s0} \eta_\mu}$ , коэффициент извилистости поровых каналов модели Био  $\alpha_\infty$  пористой среды [29] выражается через коэффициент в силе присоединенных масс  $\eta_m$ :  $\alpha_\infty = 1 + \frac{1}{2} \alpha_s \eta_m$ .

Движение флюида перед пористым слоем и в зазоре рассматривается в акустическом приближении:

$$\frac{\partial \rho_f^\circ}{\partial t} + \rho_{f0}^\circ \frac{\partial v_f}{\partial x} = 0, \quad \rho_{f0}^\circ \frac{\partial v_f}{\partial t} + \frac{\partial p_f}{\partial x} = 0, \quad p_f' = K_f \rho_f^\circ / \rho_{f0}^\circ.$$

#### ГРАНИЧНЫЕ УСЛОВИЯ

В рассматриваемой системе присутствует несколько границ (см. рис. 1), на которых происходит скачкообразное изменение свойств среды:  $x = x_1, x_2$  — границы между флюидом и пористой средой,  $x = x_w$  — граница флюида с жесткой стенкой. На этих границах задаются условия, выражающие непрерывность потока флюида, непрерывность полного напряжения  $\sigma = -p_f' + \sigma_{s*}$  и линейное соотно-

шение между скачком давления и потоком флюида через граничную поверхность [30, 31]. Таким образом, в данной системе выполняются следующие условия на границах:

$$\begin{aligned} (v_f - v_s) \Big|_{x=x_1-0} &= \alpha_{f0} (v_f - v_s) \Big|_{x=x_1+0}, \\ p_f' \Big|_{x=x_1-0} &= (p_f' - \sigma_{s*}) \Big|_{x=x_1+0}, \\ p_f' \Big|_{x=x_1-0} - p_f' \Big|_{x=x_1+0} &= T \alpha_{f0} (v_f - v_s) \Big|_{x=x_1+0}, \\ \alpha_{f0} (v_f - v_s) \Big|_{x=x_2-0} &= (v_f - v_s) \Big|_{x=x_2+0}, \\ (p_f' - \sigma_{s*}) \Big|_{x=x_2-0} &= p_f' \Big|_{x=x_2+0}, \\ p_f' \Big|_{x=x_2-0} - p_f' \Big|_{x=x_2+0} &= T \alpha_{f0} (v_f - v_s) \Big|_{x=x_2-0}, \\ v_f \Big|_{x=x_w} &= 0. \end{aligned}$$

Значения параметра  $T = 0, \infty$  соответствуют открытым или закрытым порам на границе пористого слоя и флюида. Ниже рассматривается только случай открытых пор на границе пористого слоя ( $T = 0$ ).

Начальный импульс во флюиде перед слоем, соответствующий бегущей вдоль оси  $x$  волне, задается как функция времени при  $x = x_0$  [32]:

$$p_f' \Big|_{x=x_0} = p_{in}(t), \quad v_f \Big|_{x=x_0} = p_{in}(t) / \rho_{f0} C_f,$$

где  $C_f$  — скорость звука во флюиде.

#### МЕТОДИКА РАСЧЕТА

Известно, что после прохождения импульса из флюида в пористую среду возмущение в пористой среде приобретает двухволновую структуру. Далее, в результате прохождения возмущений в зазор (см. рис.1), отражения и переотражения от границ пористого слоя (ПС) и жесткой стенки, в системе пористый слой + зазор формируется сложная волновая картина. Все возникающие при этом волны представляют собой следующие группы волн:

1. Звуковые волны перед слоем, распространяющиеся в обратном направлении оси  $x$ ;
2. Быстрые волны в пористом слое в прямом направлении;
3. Медленные волны в пористом слое в прямом направлении;
4. Быстрые волны в пористом слое в обратном направлении;
5. Медленные волны в пористом слое в обратном направлении;
6. Звуковые волны в зазоре в прямом направлении;
7. Звуковые волны в зазоре в обратном направлении.

Заметим, что при рассмотрении процесса в линейном приближении каждую группу волн можно считать одной волной с суммарной амплитудой (см. рис. 2).

Таким образом, при взаимодействии волны с системой пористый слой + зазор + жесткая стенка, помимо исходной волны, возникает семь волн. Соответственно, необходимо задать семь граничных условий на поверхностях раздела этой системы  $x = x_1, x_2, x_w$ , где параметры среды претерпевают разрыв [32].

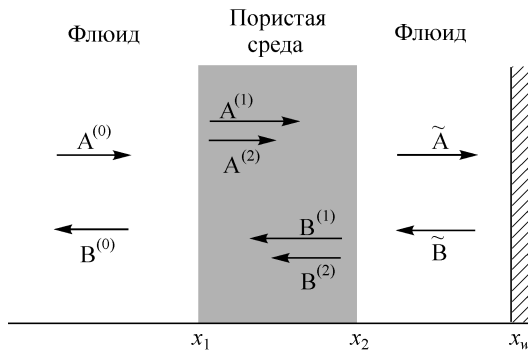


Рис. 2. Схема взаимодействия волны с пористым слоем, зазором и преградой.

Выберем в качестве основных параметров давление флюида  $p_f$  и приведенное напряжение в скелете  $\sigma_{s^*}$ . В эксперименте могут быть измерены  $p_f$  и полное напряжение  $\sigma$ , а  $\sigma_{s^*}$  через них находится легко:

$$\sigma_{s^*} = \sigma + p_f.$$

Выписанную выше систему уравнений сведем к двум уравнениям относительно  $p_f$  и  $\sigma_{s^*}$ . Найдем дисперсионное уравнение (Приложение 1).

Для определения амплитуд возникающих волн используем разложение  $p_f$ ,  $\sigma_{s^*}$  в ряд Фурье и введем следующие обозначения для гармонических составляющих распространяющихся в данной системе волн:

$\overset{\circ}{p}_f' = P \exp i(\omega t - k_f x)$  — исходная (падающая) волна во флюиде перед слоем;

$\tilde{p}_f' = \tilde{P} \exp i(\omega t + k_f x)$  — отраженная от слоя волна во флюиде;

$p_f^{(1)'} = P^{(1)} \exp i(\omega t - k^{(1)} x)$ ,  $\sigma_{s^*}^{(1)} = S^{(1)} \exp i(\omega t - k^{(1)} x)$ ,

$p_f^{(2)'} = P^{(2)} \exp i(\omega t - k^{(2)} x)$ ,  $\sigma_{s^*}^{(2)} = S^{(2)} \exp i(\omega t - k^{(2)} x)$  — быстрая (верхний индекс (1)) и медленная (верхний индекс (2)) волны в слое, распространяющиеся в прямом направлении;

$\tilde{p}_f^{(1)'} = \tilde{P}^{(1)} \exp i(\omega t + k^{(1)} x)$ ,  $\tilde{\sigma}_{s^*}^{(1)} = \tilde{S}^{(1)} \exp i(\omega t + k^{(1)} x)$ ,

$\tilde{p}_f^{(2)'} = \tilde{P}^{(2)} \exp i(\omega t + k^{(2)} x)$ ,  $\tilde{\sigma}_{s^*}^{(2)} = \tilde{S}^{(2)} \exp i(\omega t + k^{(2)} x)$  — быстрая (1) и медленная (2) волны в слое, распространяющиеся в обратном направлении;

$\hat{p}_f' = \hat{P} \exp i(\omega t - k_f x)$ ,  $\tilde{\hat{p}}_f' = \tilde{\hat{P}} \exp i(\omega t + k_f x)$  — звуковые волны в прямом и обратном направлениях во флюиде в зазоре.

Здесь  $k_f$  — волновое число для звуковых волн во флюиде,  $k^{(1)}$ ,  $k^{(2)}$  — волновые числа быстрой и медленной волн в пористой среде, являющиеся корнями дисперсионного уравнения (Приложение 1).

Заметим, что для каждой из волн в пористой среде амплитуды  $P^{(j)}$ ,  $S^{(j)}$  не являются независимыми, а связаны линейным соотношением  $P^{(j)} = g^{(j)} S^{(j)}$ , причем коэффициент пропорциональности  $g^{(j)}$  определяется упругими свойствами пористой среды и волновым числом  $k^{(j)}$  данной собственной моды (выражения для  $g^{(j)}$  приведены в Приложении 1). Амплитуды скоростей флюида и скелета при распространении каждой из волн также линейно связаны с амплитудами давления и приведенного напряжения  $P^{(j)}$ ,  $S^{(j)}$  (Приложение 1). Поэтому в качестве независимых амплитуд здесь можно выбрать, например,  $\overset{\circ}{P}$ ,  $\tilde{P}$ ,  $S^{(1)}$ ,  $S^{(2)}$ ,  $\tilde{S}^{(1)}$ ,  $\tilde{S}^{(2)}$ ,  $\hat{P}$ ,  $\tilde{\hat{P}}$ .

Тогда, с учетом граничных условий задачи, определение полей давлений и напряжений сводится к решению системы линейных алгебраических уравнений с матрицей  $M$  относительно амплитуд гармонических составляющих возникающих волн:

$$M \begin{pmatrix} \tilde{P} \\ S^{(1)} \\ S^{(2)} \\ \tilde{S}^{(1)} \\ \tilde{S}^{(2)} \\ \hat{P} \\ \tilde{\hat{P}} \end{pmatrix} = P \overset{\circ}{\exp}(-i k_f x_0) \begin{pmatrix} 1 \\ 1 \\ 0 \\ 0 \\ 0 \\ 0 \\ 0 \end{pmatrix}.$$

При этом коэффициенты системы линейных уравнений зависят от параметров флюида и скелета, протяженностей слоя и зазора, волновых чисел. Выражения для элементов матрицы  $M$  в случае открытых пор на границах пористого слоя даны в Приложении 2.

При отсутствии зазора между пористым слоем и преградой в процессе взаимодействия волны сжатия с ПС и жесткой стенкой возникает 5 волн — быстрая и медленная волны в слое в прямом и обратном направлениях и отраженная волна во флюиде перед слоем в обратном направлении. В этом случае соответственно задается 5 граничных условий: 3 уравнения при  $x = x_1$  (те же самые) и 2 уравнения при  $x = x_w$  (равенство нулю скоростей флюида и твердой фазы), необходимые и достаточные для определения амплитуд всех возникающих волн.

Предложенный метод позволяет также рассмотреть процесс прохождения волны сжатия из флюида в протяженную пористую среду (т. е. если отсутствуют зазор и жесткая стенка), и в систему пористый слой + зазор бесконечной протяженности (отсутствует жесткая стенка). В этих случаях возникает соответственно 3 и 5 групп прошедших и отраженных волн и задается такое же число граничных условий.

Эволюция импульса давления при его прохождении в слой и последующем отражении от жесткой стенки рассчитывалась с использованием алгоритмов быстрого преобразования Фурье. При этом исходный импульс давления во флюиде перед слоем задается как функция дискретного времени  $t_l = Tl/N$  на рассматриваемом временном промежутке  $0 \leq t < T$ :

$$p_l = p_{in}(t_l), \quad l = 0, 1 \dots N-1.$$

Исходный импульс представляется в виде суммы гармонических составляющих частоты  $\omega_q = 2\pi q/T$ :

$$p_l = \frac{1}{N} \sum_{0 \leq q < N} P_q \overset{\circ}{\exp} i(\omega_q t_l - k_f(\omega_q) x_0), \quad l = 0, 1 \dots N-1,$$

здесь  $N$  соответствует числу гармоник,  $k_f(\omega_q)$  — волновое число акустической волны частоты  $\omega_q$  во флюиде.

Комплексные амплитуды  $P_q$  определяются по заданным значениям импульса давления  $p_l$  с помощью прямого преобразования Фурье. Далее амплитуды гармонических составляющих частоты  $\omega_q$  всех волн, возникающих в процессе взаимодействия исходной волны с системой пористый слой + зазор + жесткая стенка, определяются

из приведенной выше системы линейных уравнений. Затем, при известных значениях амплитуд  $\hat{P}_q, \tilde{P}_q, S_q^{(1)}, S_q^{(2)}, \tilde{S}_q^{(1)}, \tilde{S}_q^{(2)}, \hat{P}_q, \tilde{P}_q$ , изменения давлений и напряжений как функции времени для каждой из волн в произвольной точке пространства  $x = x_*$  рассчитываются с помощью обратного преобразования Фурье. Сумма давлений (напряжений) всех распространяющихся в рассматриваемой системе волн дает зависимость от времени давления флюида (приведенного напряжения скелета) в заданной точке среды  $x = x_*$ . Формулы прямого и обратного дискретного преобразования Фурье приведены в Приложении 3.

### РЕЗУЛЬТАТЫ РАСЧЕТОВ

Возможности разработанного метода проиллюстрированы и использованы при решении различных задач, таких как: прохождение волны из флюида в насыщенную пористую среду с последующим распространением в ней, прохождение через пористый слой или систему слоев во флюиде, воздействие волны на преграду, экранированную пористым слоем, при этом слой может примыкать к преграде или между слоем и преградой может оставаться зазор. В качестве флюида может использоваться газ или жидкость. В силу ограниченности объема статьи рассмотрим подробнее последнюю задачу, тем более что она включает в себя две предыдущие.

Пусть в воздухе или воде расположена преграда (жесткая стенка), перед ней находится пористый слой из зерен кварца. Между стенкой и слоем имеется зазор. По флюиду в направлении преграды распространяется треугольный импульс давления. Требуется описать возникающее волновое течение.

В случае газонасыщенной пористой среды установлено, что присутствие зазора между пористым слоем и стенкой позволяет многократно уменьшить воздействие на экранируемую преграду: в этом случае возмущение давления на стенке имеет существенно меньшую амплитуду, но значительно большую продолжительность по сравнению с исходными, в то время как экранирование преграды пористым слоем без зазора может даже усилить воздействие на нее исходного импульса.

Расчет по данной методике, в отличие от конечно-разностного, позволяет детально описать и интерпретировать возникающую волновую картину. На рис. 3, 4 показана эволюция воздушной волны сжатия при ее прохождении через

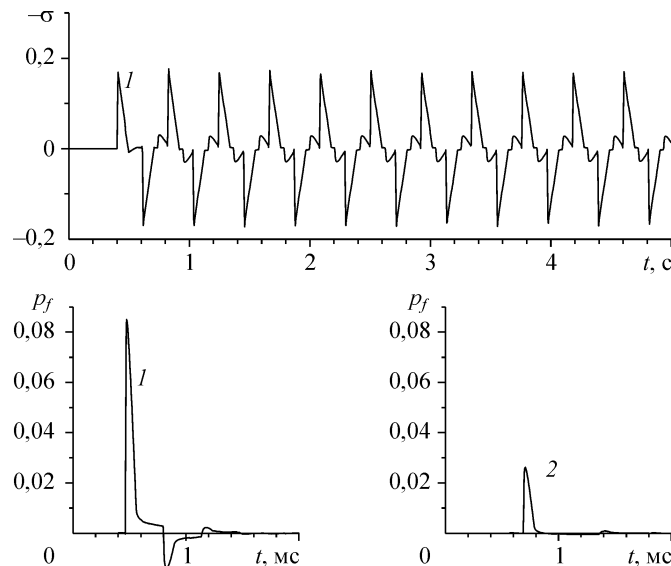


Рис. 3. Зависимости от времени полного напряжения  $\sigma$  и давления газа  $p_f$  внутри пористого слоя (1,  $x = 0,05$  м) и на стенке (2,  $x = 0,14$  м).

пористый слой и при взаимодействии с системой пористый слой + зазор + жесткая стенка. Протяженности пористого слоя и зазора составляют 0,1 м и 0,04 м соответственно ( $x_0 = -0,1$  м,  $x_1 = 0$ ,  $x_2 = 0,1$  м,  $x_w = 0,14$  м, см. рис. 1). Длительность исходного импульса треугольной формы равна 0,1 мс, безразмерная амплитуда — 0,1. В расчетах использовались следующие параметры пористой среды:  $\alpha_f = 0,4$ ,  $a_* = 0,5$  мм,  $\rho_f = 1,21$  кг/м<sup>3</sup>,  $K_f = 140,7$  кПа,  $\mu_f = 1,81 \cdot 10^{-5}$  Па·с,  $\rho_s = 2650$  кг/м<sup>3</sup>,  $K_s = 36,6$  ГПа,  $\lambda_* = \mu_* = 0,2$  ГПа,  $\eta_m = 1$ ,  $\eta_\mu = 150$ ,  $\eta_B = 1,5$ . На рис. 3 приведены зависимости от времени полного напряжения  $\sigma$  в середине слоя, давления газа  $p_f$  в середине слоя (линия 1) и за слоем (линия 2). Профиль полного напряжения соответствует слабо затухающей быстрой (деформационной) волне, которая отражается поочередно от правой и левой границ слоя с газом в виде волн разрежения и сжатия соответственно. Амплитуда медленной волны мала. Профиль давления газа в середине слоя соответствует медленной (фильтрационной) волне, которая также отражается от границ слоя как медленная волна. Она быстро затухает и после двух отражений практически не наблюдается. Быстрая волна на профиле давления газа имеет пренебрежимо малую амплитуду. Возмущение в газе за пористым слоем (линия 2) формируется за счет прохождения медленной волны, а ее амплитуда в четыре раза меньше амплитуды исходного возмущения в газе. Заметим, что за счет подбора параметров слоя (например, размера зерен) амплитуду прошедшего в газ возмущения можно многократно уменьшить.

На рис. 4 приведены зависимости от времени полного напряжения  $\sigma$  и давления газа  $p_f$  внутри пористого слоя (линия 1,  $x = 0,05$  м) и на стенке (линия 2,  $x = x_w = 0,14$  м). Присутствие стенки слабо влияет на профиль полного напряжения. Профиль давления газа на стенке (линия 2) представляет собой последовательность импульсов сжатия, возникающих в результате отражения от стенки волны сжатия, прошедшей из пористого слоя, и последующих отражений ее в зазоре между пористым слоем и стенкой. При этом происходит наложение волн, возникающих в результате отражения от левой границы слоя волн, прошедших в слой через правую границу. В этом можно убедиться, сравнивая профиль 1 на рис. 3 и 4.

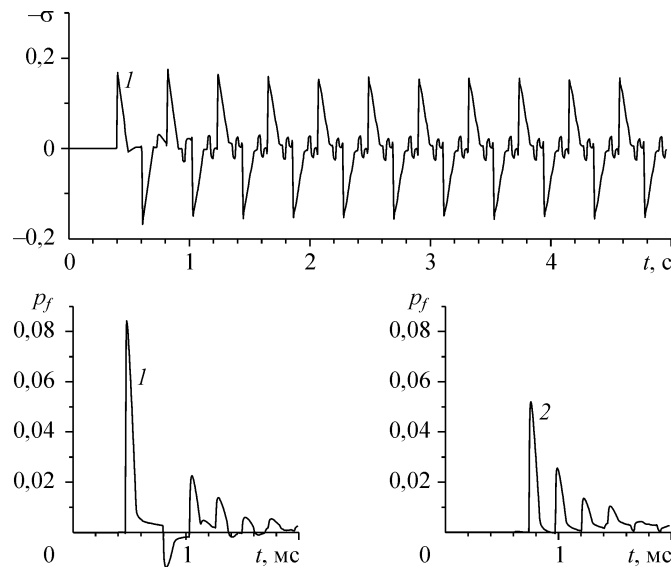


Рис. 4. Зависимости от времени полного напряжения  $\sigma$  и давления газа  $p_f$  внутри пористого слоя (1,  $x = 0,05$  м) и на стенке (2,  $x = 0,14$  м).

В пористом слое амплитуда полного напряжения  $\sigma$  в основном определяется амплитудой быстрой (деформационной) волны в скелете (линия 1 на рис. 4) и при отсутствии зазора основное воздействие на преграду производится этой волной. Но при прохождении из слоя в газ быстрая волна практически не вызывает в нем возмущений, в отличие от медленной (фильтрационной) волны давления  $p_f$ .

В случае, когда флюидом является не газ, а жидкость, волновая картина резко меняется (рис. 5). В данном случае протяженности пористого слоя и зазора составляют 0,5 м и 0,15 м соответственно ( $x_0 = -0,15$  м,  $x_1 = 0$ ,  $x_2 = 0,5$  м,  $x_w = 0,65$  м, см. рис. 1). Длительность исходного импульса треугольной формы равна 0,03 мс, безразмерная амплитуда — 1. Параметры пористой среды следующие:  $\alpha_f = 0,4$ ,  $a_* = 0,5$  мм,  $\rho_f = 1000$  кг/м<sup>3</sup>,  $K_f = 2,25$  ГПа,  $\mu_f = 1 \cdot 10^{-3}$  Па·с,  $\rho_s = 2650$  кг/м<sup>3</sup>,  $K_s = 36,6$  ГПа,  $\lambda_* = 6$  ГПа,  $\mu_* = 5$  ГПа,  $\eta_m = 1$ ,  $\eta_\mu = 100$ ,  $\eta_B = 1,5$ . На профилях полного напряжения и давления газа четко наблюдаются как быстрые, так и медленные моды сжатия. В медленной волне жидкость сжимается, а скелет расширяется. Общая волновая картина настолько сложная, что разобраться в ней можно, лишь построив точную  $x-t$  диаграмму. Проблема состоит в том, что при падении каждой моды на границу раздела порождаются три моды. Так, например, быстрая мода сжатия при падении на границу с жидкостью порождает отраженные быструю моду разрежения и медленную моду сжатия, а также волну сжатия в жидкости.

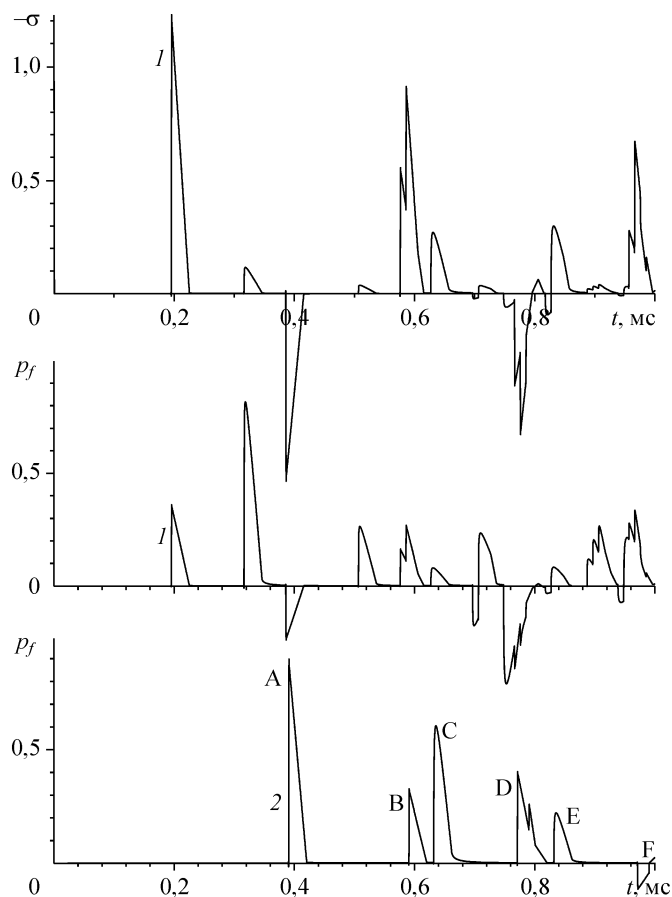


Рис. 5. Зависимости от времени полного напряжения  $\sigma$  и давления жидкости  $p_f$  внутри пористого слоя (1,  $x = 0,25$  м) и на стенке (2,  $x = 0,65$  м).

Медленная мода сжатия порождает медленную моду разрежения, быструю моду сжатия и также волну сжатия в жидкости. Волна сжатия в жидкости при падении на границу с пористой средой порождает быструю и медленную моды сжатия в последней и отраженную волну сжатия в жидкости. Поскольку скорости быстрой и медленной мод в пористой среде и скорость звука в жидкости различаются, то происходит наложение волн. Так, например, на профиле давления на преграде (см. рис. 4, линия 2) пик А соответствует пришедшей из пористого слоя быстрой волне, пик В появляется в результате отражения волны А от пористого слоя, а волна разрежения  $F$  ( $t \approx 1$  мс) — вследствие отражения волны А от дальней (левой) границы  $x_1$  пористого слоя. Пик С соответствует приходу медленной моды сжатия, а пик Е — ее отражению от пористого слоя. Пик D — быстрая волна сжатия, которая пришла после переотражения сигнала от правой  $x_2$  (волна разрежения), а потом от левой  $x_1$  (волна сжатия) границ пористого слоя. Отметим, что только волна А не встречает на своем пути других волн. Например, медленная мода С при движении в пористом слое сталкивается с быстрой волной разрежения и медленной волной сжатия, порожденными быстрой модой А при падении на правую границу слоя  $x_2$ . Если говорить о воздействии импульса сжатия на преграду, то присутствие пористого слоя и зазора приводит к трансформации одиночного импульса в последовательность импульсов меньшей амплитуды.

Если сравнить случаи, когда флюидом является газ или жидкость, обращает на себя внимание то, что в последнем случае возмущение имеет выраженную двухволновую структуру, при этом профиль медленной моды размывается и затухает значительно слабее. Наличие зазора между слоем и преградой не оказывает столь кардинального влияния на картину волнового взаимодействия, как в первом случае.

В качестве теста было проведено сопоставление расчетных данных, полученных представленным методом, с экспериментальными данными [21]. В этом эксперименте измерялся акустический сигнал, прошедший через погруженную в воду пластину толщиной 1 см из пористого материала QF-20, представляющего собой фильтр из кварцевого волокна (quartz fiber filter) [2]. В экспериментах несущая частота излучаемого импульсного сигнала составляла 200, 500 кГц и 1 МГц. Сопоставление экспериментальных [21] и расчетных данных для частоты 1 МГц приведено на рис. 6 (шаг деления по временной шкале составляет 1 мкс). На рисунке сплошные линии соответствуют экспериментальным, штриховые — расчетным данным. Исходный сигнал сдвинут по вертикали и показан справа в другом масштабе (ось справа): экспериментальная кривая соответствует сигналу, измеренному при отсутствии пластины между излучателем и приемником. Исходный расчетный сигнал задавался импульсом давления вида  $p_{in}(t) = A_0 (\beta t)^q e^{-\beta t} \sin(\varphi + \omega t)$ . Длительность исходного сигнала равна 5 мкс. В расчетах использовались следующие параметры волны и пористой среды:  $A_0 = 0,95$ ,  $q = 2,5$ ,  $\beta = 2700$  1/мс,  $\varphi = 3$ ,  $f = 1$  МГц ( $\omega = 2\pi f$ ),  $\alpha_f = 0,402$ ,  $\rho_f = 1000$  кг/м<sup>3</sup>,  $K_f = 2,22$  ГПа,  $\mu_f = 1,14 \cdot 10^{-3}$  Па·с,  $\rho_s = 2760$  кг/м<sup>3</sup>,  $K_s = 36,6$  ГПа,  $\lambda_* = 7,33$  ГПа,  $\mu_* = 12,76$  ГПа,  $\eta_m = 2,98$ ,  $\eta_\mu = 400$ ,  $\eta_B = 7$ .

При прохождении сигнала через пористую пластину происходит его разделение на быструю и медленную моды, которые далее частично отражаются от границы пластины с жидкостью и проходят в жидкость. Рассчитанные в рамках линейной теории скорости быстрой и медленной волн в пластине для частоты 1 МГц составляют 3400 и 1010 м/с. Следовательно, времена прохода быстрой и медленной волн через пластину равны 3 и 10 мкс.

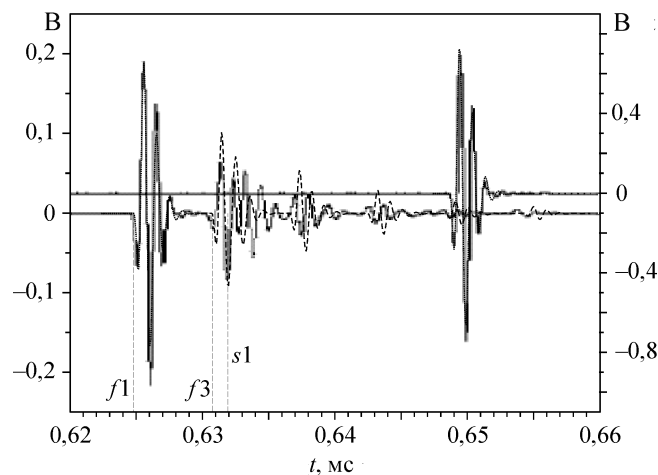


Рис. 6. Сопоставление экспериментальных [21] и расчетных данных для частоты 1 МГц. Сплошные линии соответствуют экспериментальным, штриховые — расчетным данным.

На рис. 6 момент первого вступления, соответствующий приходу из пластины быстрой волны, отмечен как  $f1$ . Видно, что зарегистрированный сигнал повторяет форму исходного импульса. Кроме того, наблюдается хорошее качественное и количественное согласие между измеренным и расчетным сигналом, соответствующим приходу из пластины к приемнику быстрой волны. При прохождении быстрой волны через пластину возникает отраженная от правой границы с жидкостью быстрая волна. Последняя порождает быструю волну, отраженную от левой границы. Эта волна проходит через слой с отставанием на 6 мкс (удвоенное время прохода через пластину) от первой быстрой волны и отмечена на рис. 6 как  $f3$ . Затем (через 1 мкс) приходит медленная волна ( $s1$ ), которая накладывается на предыдущую волну. Для следующего за быстрой модой цуга волн, являющегося, как уже было отмечено выше, суммой переотраженных от границ быстрой и медленной волн, также наблюдается совпадение измеренного и расчетного сигналов. Следует добавить, что при сопоставлении расчетных данных с экспериментальными данными из работы [20] значение коэффициента  $\eta_m$  было вычислено по значению коэффициента извилистости теории Био, и которое для использованного в эксперименте материала QF-20 приведено в статье [2]. Значения коэффициентов  $\eta_u$ ,  $\eta_B$  подбирали из сопоставления с экспериментальной осциллограммой для одной несущей частоты 1 МГц (см. рис. 6). Расчеты с этими значениями коэффициентов  $\eta_u$ ,  $\eta_B$  были сделаны и для других частот 200, 500 кГц, при этом также получено хорошее согласование расчетных и экспериментальных данных. Таким образом, предложенный метод позволяет детально описать и расшифровать сложную волновую картину, возникающую при взаимодействии акустического сигнала с пористой пластиной, погруженной в воду.

В заключение отметим, что построить и проанализировать точную и детальную картину изученного волнового взаимодействия практически невозможно, если использовать конечно-разностные методы решения задачи. Предложенный подход является в этом смысле эффективным и может быть использован для интерпретации и анализа данных как экспериментов, так и расчетов конечно-разностными и другими методами. В частности, для определения вклада нелинейных эффектов при моделировании нелинейных волновых процессов, верификации компьютерных кодов, а также для решения задач, связанных с акустическим воздействием на пористые системы.

## СПИСОК ЛИТЕРАТУРЫ

1. **Бреховских Л.М.** Волны в слоистых средах. М.: Наука, 1973. 334 с.
2. **Belloncle G., Franklin H., Luppé F., Conoir J.M.** Normal modes of a poroelastic plate and their relation to the reflection and transmission coefficients // *Ultrasonics*. 2003. Vol. 41. P. 207–216.
3. **Ефимов В.В., Семенцов Д.И.** Фазовые соотношения при отражении и пропускании звуковой волны плоским слоем // *Акустический журнал*. 2001. Т. 47, № 6. С. 789–792.
4. **Бойко А.И., Глазанов В.Е., Михайлов А.В., Тютюкин В.В.** Экспериментальные исследования элементов акустических экранов из резины с цилиндрическими каналами // *Акустический журнал*. 2003. Т. 49, № 1. С. 123–126.
5. **Викторов И.А., Грищенко Е.К., Какина Т.М.** Исследование распространения ультразвуковых поверхностных волн на границе твердого тела с жидкостью // *Акустический журнал*. 1963. Т. 9, № 2. С. 162–170.
6. **Губайдуллин А.А., Болдырева О.Ю.** Распространение волн вдоль границы насыщенной пористой среды и жидкости // *Акустический журнал*. 2006. Т. 52, № 2. С. 201–211.
7. **Yamamoto T.** Propagator matrix for continuously layered seabeds // *Bulletin of the Seismological Society of America*. 1983. Vol. 73. P. 1599–1620.
8. **Stoll R. D., Kan T.-K.** Reflection of acoustic waves at a water-sediment interface // *J. Acoust. Soc. Am.* July. 1981. Vol. 70, No. 1. P. 149–156.
9. **Belhocine F., Derible S., Franklin H.** Transition term method for the analysis of the reflected and the transmitted acoustic signals from water-saturated porous plates // *J. Acoust. Soc. Am.* September, 2007. Vol. 122, No. 3. P. 1518–1526.
10. **Султанов А.Ш., Урманчиев С.Ф., Шагапов В.Ш.** К решению задачи об отражении линейных волн в флюиде от насыщенного этим же флюидом пористого полупространства // *Прикладная механика и техническая физика*. 2006. Т. 47, № 5. С. 16–26.
11. **Кутушев А.Г., Рудаков Д.А.** Математическое моделирование динамического нагружения слоя пористой порошкообразной среды сжатым газом. // *Математическое моделирование*. 1991. Т. 3, № 11. С. 65–75.
12. **Кутушев А.Г., Рудаков Д.А.** Численное исследование воздействия ударной волны на преграду, экранируемую слоем пористой порошкообразной среды // *Прикладная механика и техническая физика*. 1993. № 5. С. 25–31.
13. **Кутушев А. Г., Родионов С. П.** Численное исследование влияния параметров слоя насыпной среды и падающей ударной волны на давление на экранируемой плоской стенке // *Физика горения и взрыва*. 1999. Т. 35, № 2. С. 105–113.
14. **Кутушев А.Г., Родионов С.П.** Взаимодействие слабых ударных волн со слоем порошкообразной среды // *Физика горения и взрыва*. 2000. Т. 36, № 3. С. 131–140.
15. **Губайдуллин А.А., Дудко Д.Н., Урманчиев С.Ф.** Моделирование взаимодействия воздушной ударной волны с пористым экраном // *Физика горения и взрыва*. 2000. Т. 36, № 4. С. 87–96.
16. **Gubaidullin A.A., Britan A., Dudko D.N.** Air Shock Wave Interaction with an Obstacle Covered by Porous Material // *Shock Waves*. 2003. Vol. 13, No. 1. P. 41–48.
17. **Gubaidullin A.A., Dudko D.N.** Modelling of the Impact of Air Shock Wave on Obstacle covered by Porous Screen // *Computational Mechanics*. 2003. Vol. 31, No. 6. P. 453–460.
18. **Лукин С.В., Губайдуллин А.А., Урманчиев С.Ф.** Закономерности отражения волн давления от твердых поверхностей, покрытых пористым слоем // *Нефтегазовое дело*. 2006. № 4. С. 35–40.
19. **Fellah Z.E.A., Berger S., Lauriks W. et al.** Measuring the porosity and the tortuosity of porous materials via reflected waves at oblique incidence // *J. Acoust. Soc. Am.*, May, 2003. Vol. 113, No. 5. P. 2424–2433.
20. **Fellah Z.E.A., Depollier C., Berger S., Lauriks W., Trompette P., Chapelon J.-Y.** Determination of transport parameters in air-saturated porous materials via reflected ultrasonic waves // *J. Acoust. Soc. Am.*, November, 2003. Vol. 114, No. 5. P. 2561–2569.
21. **Derible S.** Debye-series analysis of the transmission coefficient of a water-saturated porous plate obeying Biot's theory // *J. Acoust. Soc. Am.*, December, 2005. Vol. 118, No. 6. P. 3430–3435.
22. **Губайдуллин А.А., Кучугурина О.Ю.** Сферические и цилиндрические линейные волны в насыщенных жидкостью пористых средах // *Теплофизика высоких температур*. 1995. Т. 33, № 1. С. 108–115.
23. **Губайдуллин А.А., Дудко Д.Н., Урманчиев С.Ф.** Воздействие воздушных ударных волн на преграды, покрытые пористым слоем // *Вычислительные технологии*. 2001. Т. 6, № 3. С. 7–20.
24. **Болдырева О.Ю., Губайдуллин А.А., Дудко Д.Н., Кутушев А.Г.** Численное исследование передачи ударно-волновой нагрузки экранируемой плоской стенке через слой порошкообразной среды и разделяющий их воздушный зазор // *Физика горения и взрыва*. 2007. Т. 43, № 1. С. 132–142.
25. **Жилин А.А., Федоров А.В., Коробейников Ю.Г., Фомин В.М.** Математическое моделирование механизма акустической сушки пористых материалов // *Прикладная механика и техническая физика*. 2003. Т. 44, № 5. С. 102–117.
26. **Нигматуллин Р.И.** Основы механики гетерогенных сред. М.: Наука, 1978. 336 с.
27. **Нигматуллин Р.И.** Динамика многофазных сред. Ч.1. М.: Наука, 1987. 464 с.

28. Nigmatulin R.I., Gubaidullin A.A. Linear waves in saturated porous media // Transport in Porous Media. 1992. Vol. 9, No. 1&2. P. 135–142.
29. Johnson D.L., Koplik J., Dashen R. Theory of dynamic permeability and tortuosity in fluid-saturated porous media // J. Fluid Mech. 1987. Vol. 176. P. 379–402.
30. Deresiewicz H., Skalak R. On uniqueness in dynamic poroelasticity // Bull. Seism. Soc. America. 1963. Vol. 53, No. 4. P. 783–788.
31. Feng S., Johnson D.L. High-frequency acoustic properties of a fluid/porous solid interface. I. New surface mode // J. Acoust. Soc. Am. 1983. Vol. 74, No. 3. P. 906–914.
32. Исакович М.А. Общая акустика. М.: Наука, 1973. 496 с.

## ПРИЛОЖЕНИЕ 1

Дисперсионное уравнение для продольных волн в пористой среде имеет вид:

$$\begin{aligned} (\xi)^4 \frac{E_*}{K_f} - (\xi)^2 \left[ \frac{E_*}{K_f} + b_s(1-v_*) + \frac{b_f}{\varepsilon_0} + \Phi \left( \frac{\alpha_{s0} E_*}{K_f} + (b_s + b_f)(1-v_* \alpha_{s0}) \right) \right] + \\ + \frac{1}{\varepsilon_0} + \Phi \left( \alpha_{f0} + \frac{\alpha_{s0}}{\varepsilon_0} \right) = 0, \end{aligned}$$

$$\text{где } \xi = \frac{k}{\omega} C_f, \quad E_* = \lambda_* + 2\mu_*, \quad \varepsilon_0 = \rho_{f0}^\circ / \rho_{s0}^\circ,$$

$$b_s = \frac{\alpha_s(1-v_*)}{\alpha_f + \alpha_s(1-v_*)K_f/K_s}, \quad b_f = \frac{\alpha_f}{\alpha_f + \alpha_s(1-v_*)K_f/K_s},$$

$$\Phi = \frac{1}{2} \eta_m + \frac{1}{i\bar{\omega}} + \eta_B \sqrt{\frac{2}{\eta_\mu}} \frac{1-i}{\sqrt{\bar{\omega}}}, \quad \bar{\omega} = \omega \cdot t_\mu, \quad t_\mu = \frac{\rho_{f0}^\circ a_*^2}{\eta_\mu \mu_f}.$$

Его решения  $k^{(1)}, k^{(2)}$  являются волновыми числами быстрой и медленной волн.

Для волн в пористой среде  $w' = A_w \exp i(\omega t \mp k^{(j)} x)$ ,  $j = 1, 2$ , распространяющихся в прямом и обратном направлениях, имеют место следующие соотношения между безразмерными (отнесенными к  $p_0$  и  $C_f$ ) амплитудами порового давления  $P$ , приведенного напряжения в скелете пористой среды  $S$  и скоростей фаз  $V_s, V_f$ :

$$P^{(j)} = g^{(j)} S^{(j)}, \quad g^{(j)} = \frac{b_s / \alpha_{s0} + \Phi(b_s + b_f)}{\left( \frac{\xi^{(j)}}{\varepsilon_0} \right)^2 \frac{E_*}{K_f} b_f - \frac{E_*}{K_f} + \alpha_{s0} \Phi \left( v_* b_f - \frac{E_*}{K_f} \right)},$$

$$V_s^{(j)} = \pm \frac{1}{\xi^{(j)}} \frac{p_0}{E_*} \left[ v_* P^{(j)} - \frac{1}{\alpha_{s0}} S^{(j)} \right],$$

$$V_f^{(j)} = \frac{\left( \xi^{(j)} \right)^2 b_s + \alpha_{s0} \Phi}{-\left( \xi^{(j)} \right)^2 b_f + 1 + \alpha_{s0} \Phi} V_s^{(j)}.$$

Для звуковых волн во флюиде

$$C_f = \sqrt{K_f / \rho_{f0}^\circ}, \quad k_f = \omega / C_f, \quad V_f = \pm \frac{p_0}{K_f} P_f.$$

Амплитуды  $\tilde{P}$ ,  $S^{(1)}$ ,  $S^{(2)}$ ,  $\tilde{S}^{(1)}$ ,  $\tilde{S}^{(2)}$ ,  $\hat{P}$ ,  $\tilde{\hat{P}}$  определяются при заданной амплитуде исходной волны  $\overset{\circ}{P}$  в результате решения системы линейных уравнений с квадратной матрицей  $M$  7-го порядка:

$$M \begin{pmatrix} \tilde{P} \\ S^{(1)} \\ S^{(2)} \\ \tilde{S}^{(1)} \\ \tilde{S}^{(2)} \\ \hat{P} \\ \tilde{\hat{P}} \end{pmatrix} = \overset{\circ}{P} \exp(-i k_f x_1) \begin{pmatrix} 1 \\ 1 \\ 0 \\ 0 \\ 0 \\ 0 \\ 0 \end{pmatrix},$$

$$M_{11} = -\exp(i k_f x_1), \quad M_{21} = \exp(i k_f x_1), \quad M_{31} = M_{41} = M_{51} = M_{61} = M_{71} = 0;$$

$$M_{12} = g^{(1)} \exp(-i k^{(1)} x_1), \quad M_{22} = a^{(1)}/\xi^{(1)} \exp(-i k^{(1)} x_1),$$

$$M_{32} = \exp(-i k^{(1)} x_1), \quad M_{42} = g^{(1)} \exp(-i k^{(1)} x_2),$$

$$M_{52} = a^{(1)}/\xi^{(1)} \exp(-i k^{(1)} x_2), \quad M_{62} = \exp(-i k^{(1)} x_2), \quad M_{72} = 0;$$

$$M_{13} = g^{(2)} \exp(-i k^{(2)} x_1), \quad M_{23} = a^{(2)}/\xi^{(2)} \exp(-i k^{(2)} x_1),$$

$$M_{33} = \exp(-i k^{(2)} x_1), \quad M_{43} = g^{(2)} \exp(-i k^{(2)} x_2),$$

$$M_{53} = a^{(2)}/\xi^{(2)} \exp(-i k^{(2)} x_2), \quad M_{63} = \exp(-i k^{(2)} x_2), \quad M_{73} = 0;$$

$$M_{14} = g^{(1)} \exp(i k^{(1)} x_1), \quad M_{24} = -a^{(1)}/\xi^{(1)} \exp(i k^{(1)} x_1),$$

$$M_{34} = \exp(i k^{(1)} x_1), \quad M_{44} = g^{(1)} \exp(i k^{(1)} x_2),$$

$$M_{54} = -a^{(1)}/\xi^{(1)} \exp(i k^{(1)} x_2), \quad M_{64} = \exp(i k^{(1)} x_2), \quad M_{74} = 0;$$

$$M_{15} = g^{(2)} \exp(i k^{(2)} x_1), \quad M_{25} = -a^{(2)}/\xi^{(2)} \exp(i k^{(2)} x_1),$$

$$M_{35} = \exp(i k^{(2)} x_1), \quad M_{45} = g^{(2)} \exp(i k^{(2)} x_2),$$

$$M_{55} = -a^{(2)}/\xi^{(2)} \exp(i k^{(2)} x_2), \quad M_{65} = \exp(i k^{(2)} x_2), \quad M_{75} = 0;$$

$$M_{16} = M_{26} = M_{36} = M_{66} = 0,$$

$$M_{46} = M_{56} = -\exp(-i k_f x_2), \quad M_{76} = \exp(-i k_f x_w);$$

$$M_{17} = M_{27} = M_{37} = M_{67} = 0,$$

$$M_{47} = -\exp(i k_f x_2), \quad M_{57} = \exp(i k_f x_2), \quad M_{77} = -\exp(i k_f x_w);$$

$$a^{(j)} = \frac{p_0}{E_*} \left[ \left( \frac{\alpha_{f0} b_s}{\alpha_{s0} b_f} - 1 \right) + g^{(j)} \left( \frac{E_* \alpha_{f0}}{K_f b_f} + v_* \left( \alpha_{s0} - \alpha_{f0} \frac{b_s}{b_f} \right) \right) \right].$$

### ПРИЛОЖЕНИЕ 3

Прямое преобразование Фурье отображает множество коэффициентов  $\{A_0, A_1, \dots, A_{N-1}\}$  во множество коэффициентов  $\{B_0, B_1, \dots, B_{N-1}\}$  по правилу

$$B_q = \sum_{l=0}^{N-1} A_l \exp(-2\pi i q l / N),$$

а обратное преобразование отображает  $\{B_0, B_1, \dots, B_{N-1}\}$  в  $\{A_0, A_1, \dots, A_{N-1}\}$ :

$$A_l = \frac{1}{N} \sum_{q=0}^{N-1} B_q \exp(2\pi i q l / N), \quad q, l = 0, 1, \dots, N-1.$$